

آنالیز حد پایین پوسته‌های استوانه‌ای

که در معرض بارشعاعی محلی قرار گرفته‌اند

مهندس غلامحسین رحیمی شهرباف
دانشگاه بومست - انگلستان

چکیده:

مقاله حاضر در ارتباط با تجزیه و تحلیل رفتار پوسته‌های استوانه‌ای زمانی که در معرض بار شعاعی محلی از طریق پایه^۱ مستطیلی شکل قرار گرفته‌اند، می‌باشد. در تجزیه و تحلیل نظری با استفاده از قضیه^۲ حد پائین در تئوری خمیری پوسته‌ها حداکثر بار خمیری برای حالت بارگذاری محاسبه شده است. در نهایت نتایج برای برخی از پارامترهای هندسی کاربردی به صورت منحنی رسم شده‌اند.

۱- مقدمه

بارهای محلی^۱ وارده بر مخازن تحت فشار استوانه‌ای اغلب از طریق اتصالات، انشعابات و تکیه پایه‌ها و غیره اعمال می‌گردند، و تجزیه و تحلیل آنها از اهمیت بسیار زیادی برخوردار است. هم‌اکنون کدهای طراحی مخازن تحت فشار نظیر کد ASME یا کد BS این‌گونه بارها را با روش ارتجاعی^۲ مورد مطالعه قرار می‌دهند. ولی زمانی که فشار یا بار زیادی بر مخزن وارد شود و بخصوص هنگام شرایط اورزانس و یا وقوع نقص و عیب در سازه که نیروی زیادی دفعتاً اعمال می‌گردند، آنالیز ارتجاعی جواب مناسبی را به دست نمی‌دهد و برای اغلب این شرایط آنالیز ارتجاعی جواب کوچکتر از تخمین نظری محاسبه شده را ارائه می‌کند. لذا در این حالت باید از آنالیز خمیری^۳ استفاده نمود. در این مقاله سعی بر این است که یک آنالیز حد ساده برای یک مخزن استوانه‌ای که تحت تاثیر بار شعاعی در وسط آن و به اندازه کافی دور از لبه‌ها قرار گرفته است، ارائه شود. این‌گونه آنالیز برای پوسته‌های کرومی هم براساس قضیه حد بالا و هم حد پائین مورد بررسی قرار گرفته‌اند، به عنوان مثال مقاله (۱) را ببینید. ولی پوسته‌های استوانه‌ای به علت پیچیده‌تر بودن شکل هندسی هنوز به اندازه کافی مورد توجه واقع نشده‌اند. آنالیز خمیری با استفاده از قضیه^۴ حد بالا برای محاسبه بار حد پوسته‌های استوانه‌ای زمانی که در معرض ممان خمشی محوری، ممان خمشی محیطی و نیروی شعاعی قرار گرفته‌اند به ترتیب در مقاله‌های (۲)، (۳) و (۴) آمده است. اینک از قضیه^۵ حد پائین برای محاسبه بار حد زمانی که مخزن تحت اثر بار شعاعی وارده روی یک مساحت مستطیلی فرار گرفته است، استفاده می‌شود.

۲- نگاهی به آنالیز حد^۴:

آنالیز خمیری مبتنی بر مجموعه‌ای از قضایا و فرضیاتی شکل گرفته است که اساس آن در اغلب کتب پلاستیسته آمده است. چنانچه این اصول با معادلات پوسته‌ها (معادلات تعادل، تغییر مکان و سازگاری) پیوند خورند، آنالیز خمیری پوسته‌ها^۵ را به طور عموم به دست می‌دهند. این شیوه تجزیه و تحلیل گرچه به نحو وسیعی مورد توجه واقع شده است ولی هنوز به جز در تیرها، قاب‌ها و سازه‌هایی از این قبیل عمومیت کاربرد در مورد ورق‌ها و به خصوص پوسته‌ها نیافته است. گرچه این روش اغلب از آنالیز ارتجاعی راه حل‌های سریعتر ارائه می‌کند و به خصوص برای سازه‌های پیچیده‌ای نظیر پوسته‌ها به آن اندازه که از فرضیات ساده‌کننده و در نتیجه محدود ساز در آنالیز ارتجاعی استفاده می‌شود، در آنالیز خمیری این فرضیات به کار گرفته نمی‌شوند.

آنالیز خمیری پوسته‌ها شامل حوزه‌های متعدد تحقیق است که مهمترین آن تئوری حد یا آنالیز حد است. این آنالیز مبتنی بر این فرض است که سازه به صورت کل و یا ناحیه‌ای خاص از آن به حال خمیری کامل درآمده است. آن‌گاه مبتنی بر یکی از قضایای حد، نیروی حد که موجب این تغییر شکل خمیری شده محاسبه می‌گردد. ساده سازی عمده در محاسبات این است که از رفتار ماده در خلال بارگذاری مخزن تا ابتدای ناحیه^۶ خمیری کلاً^۷ صرف نظر می‌شود. اما بار حد،^۶ باری است که در آن تغییر شکل خمیری با هر مقدار دلخواه بزرگ تحت بار ثابت می‌تواند رخ دهد، به شرطی که ماده^۸ سازه رفتار خمیری کامل از خود نشان داده و در نتیجه سخت‌کاری^۹ اتفاق نیفتد. و نیز تغییراتی که در شکل هندسی سازه رخ می‌دهد قابل ملاحظه نباشد.

قضیه حد پائین^۸:

بار حد P بزرگترین بار در مجموعه بارهای \bar{P} مربوط به میدان استاتیکی مجاز تنش می باشد.

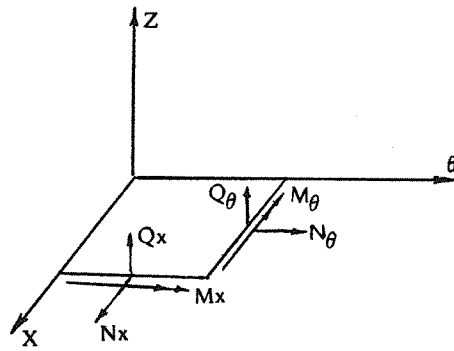
قضیه حد بالا^۹:

بار حد P₁ کوچکترین بار از میان تمامی بارهای \bar{P} مربوط به مکانیزم دینامیکی مجاز می باشد.

واضح است که چنانچه بار محاسبه شده در حد بالا و حد پائین برابر باشد، یعنی هم در میدان استاتیکی مجاز تنش و هم در مکانیزم دینامیکی مجاز صدق کند، بار حقیقی حد خواهد بود. میدان مجاز استاتیکی تنش، حالتی از تنش در سازه است که اولاً در تعادل با بار وارده خارجی بوده و در ضمن در هیچ جای میدان ملاک تسلیم^{۱۰} رانقص نکند. مکانیزم دینامیکی مجاز به ناحیه خمیری سازه گفته می شود که اولاً یک میدان سرعت ذرات سازه وجود دارد که در شرایط مرزی سرعت صدق می کند و در ثانی کار انجام شده توسط بار خارجی برابر انرژی تلف شده در سازه خمیری است. ملاک تسلیم در حقیقت شرائطی را که تحت آن رفتار خمیری سازه آغاز می شود، مشخص می کند. دو ملاکی که هم اکنون به طور عموم استفاده می شوند ملاک تسلیم ترسکا^{۱۱} (تنش برشی ماکزیمم) و ملاک تسلیم فون میز^{۱۲} (انرژی تغییر شکل برشی) می باشد. ملاک تسلیم پوسته ها به علت حضور مؤلفه های متعدد تنش و شکل هندسی ویژه خود پوسته از پیچیدگی خاصی برخوردار است. جهت اطلاع بیشتر در این زمینه به مأخذ (۵) رجوع شود.

۳- معادلات تعادل و شرائط تسلیم:

معادلات تعادل پوسته های استوانه ای در فقدان فشار داخلی و با صرف نظر کردن از نیروهای برشی صفحه ای و ممان پیچشی عبارتند از (۶) (شکل ۱)



شکل ۱ - نیروهای وارد بر جزء سطح پوسته

$$\frac{\partial N_x}{\partial x} = 0 \quad (1)$$

$$\frac{\partial N_\theta}{a \partial \theta} + \frac{Q_\theta}{a} = 0 \quad (2)$$

$$\frac{\partial Q_x}{\partial x} + \frac{\partial Q_\theta}{a \partial \theta} - \frac{N_\theta}{a} = 0 \quad (3)$$

$$\frac{\partial M_x}{\partial x} - Q_x = 0 \quad (4)$$

$$\frac{\partial M_\theta}{a \partial \theta} - Q_\theta = 0 \quad (5)$$

با ترکیب معادلات ۲ و ۳ نتیجه می شود:

$$\frac{\partial^2 N_\theta}{\partial \theta^2} + N_\theta = a \frac{\partial Q_x}{\partial x} \quad (6)$$

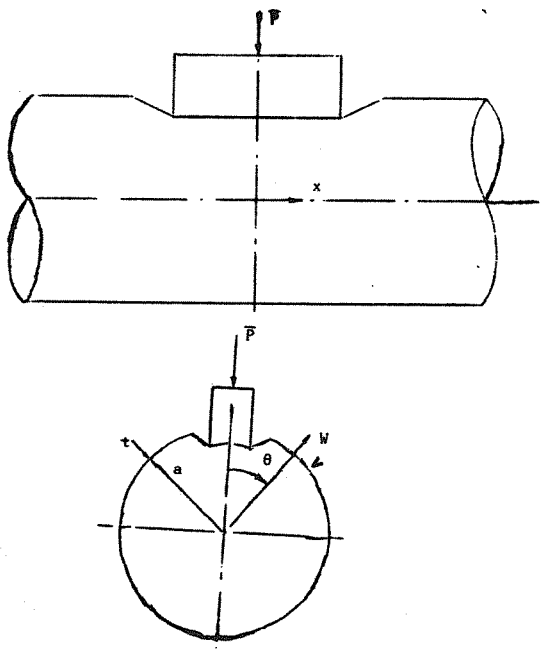
از ترکیب معادلات ۲، ۳، ۴ خواهیم داشت:

$$\frac{\partial^2 M_x}{\partial x^2} - \frac{\partial N_\theta}{a \partial \theta^2} - \frac{1}{a} N_\theta = 0 \quad (7)$$

که در معادلات فوق a شعاع استوانه می باشد. سطح تسلیم زیرین که به سطح دو ممانه یا برهم کنش محدود^{۱۳} مشهور است (۵) را جهت ساده شدن محاسبات برمی گیریم:

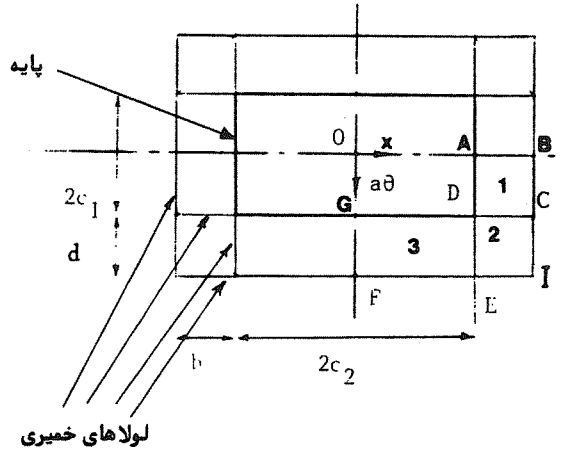
$$|M_x| = M_0, |M_\theta| = M_0, |N_\theta| = N_0, |N_x| = N_0 \quad (8)$$

که در روابط $M_0 = \frac{\sigma_0 t^2}{4}$ و $N_0 = \sigma_0 t (\lambda)$ بوده و σ_0 تنش تسلیم در کشش ساده و t ضخامت مخزن می باشد. فرض می شود که تغییر شکل خمیری پوسته در اطراف پایه به گونه ای که شکل ۲ نشان می دهد، باشد.



شکل ۲ - تغییر شکل پوسته

خارج از این حوزه خمیری، پوسته صلب فرض می‌گردد. در ضمن مخزن دو طرف آزاد بوده و به اندازه کافی طویل برای نادیده انگاشتن اثرات لبه‌ها است. به علت تقارن حول محورهای x و θ می‌توان یک چهارم حوزه خمیری را در نظر گرفت. برای انجام محاسبات، این حوزه به چند ناحیه که توسط لولاهای خمیری^{۱۴} از یکدیگر و همچنین از ناحیه صلب متک شده‌اند، تقسیم می‌شود (شکل ۳).



شکل ۳- مکانیزم شکست

خواهد بود.

ناحیه ۲:

پیوستگی منته‌های تنش (مستقیم، خمشی و عرضی) با نواحی ۱ و ۳ ایجاب می‌کند که مقادیر $M_\theta, M_x, Q_\theta, Q_x, N_x, N_\theta$ همانند مقادیر ناحیه ۱ که توسط معادلات (۹) و (۱۰) ارائه شده‌اند باشد.

ناحیه ۳:

در این ناحیه فرض می‌شود که:

$$Q_\theta = \frac{-P}{d} (d + C_1 - a\theta)$$

پس معادله (۲) می‌دهد

$$\frac{\partial N_\theta}{\partial \theta} = -Q_\theta = \frac{P}{d} (d + C_1 - a\theta)$$

یا

$$N_\theta = \frac{P}{d} (d + C_1) \theta - \frac{Pa\theta^2}{2d} + A_3$$

چنانچه $N_\theta = 0$ در $a\theta = C_1$ باشد، نتیجه می‌شود:

$$N_\theta = \frac{P}{d} (d + C_1) \theta - \frac{Pa\theta^2}{2d} - \frac{PC_1}{a} \left(1 + \frac{C_1}{2d}\right) \quad (12)$$

از معادله (۵) حاصل می‌شود:

$$\frac{\partial M_\theta}{\partial \theta} = aQ_\theta = \frac{-Pa}{d} (d + C_1 - a\theta)$$

یا:

$$M_\theta = \frac{Pa^2\theta^2}{2d} - \frac{Pa(d + C_1)\theta}{d} + A_4$$

اگر: $M_\theta = M_0$ در $a\theta = C_1$ باشد، نتیجه نهایی به صورت

زیر است:

$$M_\theta = \frac{Pa^2}{2d} \theta^2 - \frac{Pa(d + C_1)}{d} \theta + PC_1 \left(1 + \frac{C_1}{2d}\right) + M_0 \quad (13)$$

معادله (۲) می‌دهد

$$\frac{\partial Q_x}{\partial x} = \frac{N_\theta}{a} - \frac{\partial Q_\theta}{a \partial \theta} = \frac{N_\theta}{a} - \frac{P}{d}$$

پس:

$$Q_x = \left(\frac{N_\theta}{a} - \frac{P}{d}\right)x + A_5$$

چنانچه $Q_x = -P$ در $x = C_2$ باشد، خواهیم داشت:

$$Q_x = \left(\frac{N_\theta}{a} - \frac{P}{d}\right)(x - C_2) - P \quad (14)$$

از معادله (۴) نتیجه می‌شود

$$M_x = \left(\frac{N_\theta}{a} - \frac{P}{d}\right) \left(\frac{x^2}{2} - C_2x\right) - Px + A_6$$

پیوستگی با ناحیه ۲ ایجاب می‌کند که $M_x = M_0$ در $x = C_2$ باشد، لذا:

$$M_x = \left(\frac{N_\theta}{a} - \frac{P}{d}\right) \left(\frac{x^2}{2} - C_2x + \frac{C_2^2}{2}\right) + P(C_2 - x) + M_0 \quad (15)$$

در این ناحیه فرض می‌شود که $N_x = 0$ باشد.

۵- ملاک تسلیم و نامساوی‌های مربوط:

بررسی همه منته‌های تنش در تمامی نواحی بیانگر این حقیقت است که اگر نامساوی‌های زیرین برقرار باشد، ملاک تسلیم در هیچ جا

۴- محاسبات:

چون در معادلات تعادل تنش متغیر مستقل وجود دارد و تعداد معادلات کلاً پنج تا است، لذا می‌توان یکی از متغیرها را به گونه‌ای مفروض تصور کرد که شرایط تسلیم نقض نگردد. در اینجا محاسبات برای نواحی ۱ و ۲ و ۳ جداگانه انجام می‌شود.

ناحیه ۱:

فرض شود که در تمامی این ناحیه $N_\theta = N_0$ باشد. در این صورت از

$$\frac{\partial^2 M_x}{\partial x^2} = \frac{N_0}{a} \quad (7)$$

معادله (۷) نتیجه می‌شود:

یا

$$Q_x = \frac{\partial M_x}{\partial x} = \frac{N_0}{a} x + A_1$$

چنانچه $Q_x = -P$ در $x = C_2$ باشد، داریم

$$Q_x = \frac{\partial M_x}{\partial x} = \frac{N_0}{a} x - N_0 \frac{C_2}{a} - P \quad (9)$$

یا

$$M_x = \frac{N_0}{2a} x^2 - \left(\frac{N_0 C_2}{a} + P\right)x + A_2$$

اگر $M_x = M_0$ در $x = C_2$ باشد، نتیجه می‌شود:

$$M_x = \frac{N_0}{2a} (x^2 + C_2^2) - \left(\frac{N_0 C_2}{a} + P\right)x + PC_2 + M_0 \quad (10)$$

در این ناحیه فرض می‌شود که $Q_\theta = N_x = 0$ و در نتیجه M_θ ثابت

برای سطح تسلیم پیشنهاد شده نقض نمی‌گردد.

در ناحیه ۱، $Q_x = 0$ در $x = b + C_2$ است. بنابراین معادله ۹ می‌دهد:

$$P = \frac{N_0 b}{a} \quad (16)$$

از معادله (۱۰) در $x = b + C_2$ نتیجه می‌شود:

$$\frac{N_0}{2a} (x^2 + C_2^2) - \left(\frac{N_0 C_2}{a} + P \right) x + PC_2 - M_0 \gg -M_0$$

پس

$$\frac{N_0 b^2}{2a} - Pb \gg -2M_0 \quad (17)$$

در ناحیه ۳، معادله (۱۲) می‌دهد:

$$\frac{Pa^2}{2d} \theta^2 - \frac{Pa(d+C)}{d} \theta + PC_1 \left(1 + \frac{C_1}{2d} \right) + M_0 \gg -M_0$$

که در $a\theta = d + C_1$ می‌دهد:

$$\frac{pd}{2} \gg 2M_0 \quad (18)$$

چنانچه از علامت‌های تساوی نامساوی‌های (۱۷) و (۱۸) استفاده کنیم، با در نظر گرفتن (۱۵) خواهیم داشت:

$$b = d = \sqrt{at} \quad (19)$$

که \bar{P} یک حد پائین برای بار حد می‌باشد.

$$\bar{P} = \frac{N_0 \sqrt{at}}{a} \quad (20)$$

۶- نتایج و بحث پیرامون آنها:

معادله (۲۰) نشان می‌دهد که مقدار \bar{P} مستقل از ابعاد تکیه‌گاه است. نتایج این آنالیز شبیه نتایج حاصل از آنالیز یک پوسته استوانه‌ای زمانی که تحت یک بار متمرکز حلقوی قرار گرفته است (۶) می‌باشد.

شرط تسلیم در تمامی نواحی نقض نمی‌گردد اگر و تنها اگر معادله (۱۵) برای تمامی مقادیر θ و x در نامساوی $M_x \gg -M_0$ صدق کند، که با استفاده از علامت تساوی نتیجه نهایی چنین است.

$$C_2^2 = 2 C_1 \sqrt{at} + at \quad (21)$$

که در این رابطه ابعاد تکیه‌گاه دخیل می‌باشند. معادله (۲۱) شرط لازم برای برقراری یک میدان تنش که به لحاظ استاتیکی در حوزه خمیری مجاز باشد را ارائه می‌کند. چنانچه پارامترهای هندسی بی‌بعد

$$\alpha = \frac{C_1}{C_2}, \quad \gamma = \frac{C_1}{a}, \quad \rho = \frac{C_1}{\sqrt{at}}$$

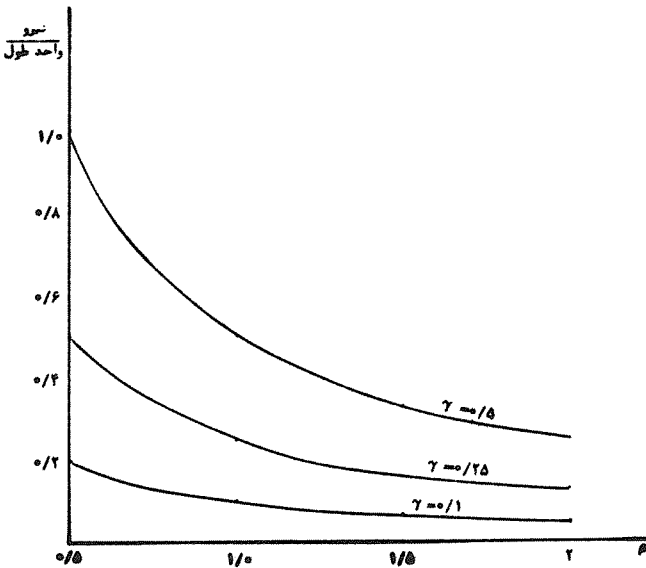
و $\Omega = \frac{b}{C_1}$ را به کار ببریم، معادلات (۱۹) تا (۲۱) به صورت زیر در می‌آیند:

$$P^* = \frac{\bar{P}}{N_0} = \frac{\gamma}{\rho}, \quad \Omega = \frac{1}{\rho}, \quad \alpha^2 = \frac{\rho^2}{1+2\rho} \quad (22)$$

خارج از نواحی سه گانه خمیری فوق یعنی برای $b + C_2 > x$ و $b > a\theta$ یک میدان مجاز استاتیکی تنش به علت $Q_x = Q_\theta = 0$ وجود خواهد داشت. توجه شود که در آنالیز فوق از اثرات نیروهای برشی عرضی (Q_θ, Q_x) در سطح تسلیم صرف نظر شده است.

جهت ارائه یک مثال کاربردی، فرض شود که شعاع استوانه 50mm وضخامت آن $t = 1.5 \text{ mm}$ و ابعاد پایه $2C_1 = 6.25 \text{ mm}$ ، $2C_2 = 25 \text{ mm}$ و تنش تسلیم $\sigma_0 = 10^5 \text{ KN/m}^2$ باشند. در این صورت واحد طول $\bar{P} = 26 \text{ N}$ و $\bar{P} = 26 \text{ N}$ و $\bar{P} = 26 \text{ N}$ البته آنالیز فوق روش خلاصه با فرضیات متعدد ساده کننده برای محاسبه بار حد است. از این رو می‌توان این آنالیز را از دو جنبه بسط داد و تکمیل نمود. یکی این که سطح تسلیم نزدیکتر به ملاک‌های میز یا ترسکا در نظر گرفته شود، و دیگر آنالیز کاملتری بخصوص در ارتباط با پیوستگی نواحی خمیری مختلف انجام داد و از فرضیات محدود کننده کمتر استفاده نمود.

انجام آزمایش‌های تجربی برای تایید یا رد نتایج نظری حاصله بسیار مفید است. رابطه (۱۹) نشان می‌دهد که بهترین حد پائین برای بار حد زمانی حاصل می‌شود که $b = d$ باشد، که می‌توان این امر را با آزمایش به محک ارزیابی نهاد. همچنین رابطه (۲۰) نشان می‌دهد که هرچه ضخامت مخزن زیادتر باشد بار حد نیز بزرگتر خواهد بود و بالعکس هرچه شعاع بزرگتر باشد بار حد کمتر است. شکل ۴ رابطه بین P^* و پارامترهای بدون بعد γ و ρ را به صورت منحنی نمایش می‌دهد.



شکل ۴

پاورقی

1. Local loads
2. Elastic
3. Plastic analysis
4. Limit analysis
5. Plastic analysis of shells
6. Limit load
7. Hardening
8. Lower - bound theorem
9. Upper bound theorem
10. Yield Criterion
11. Tresca yield Criterion
12. Von - Mises
13. Two - moment limited interaction yield surface
14. Plastic Hinges